

محیط رسوی، دیاژنر و ژئوشیمی سازند فهیان در برش نمونه (تاقدیس فهیان) و میدان نفتی گچساران

محمد علی صالحی^{۱*}، محمد حسین آدابی^۲، هرمز قلاوند^۲ و مینا خطبی مهر^۱

^۱ گروه زمین شناسی، دانشکده علوم زمین، دانشگاه شهید بهشتی، تهران، ایران

^۲ اداره زمین شناسی بنیانی، شرکت ملي مناطق نفت خیز جنوب، اهواز، ایران.

تاریخ دریافت: ۱۳۸۷/۰۸/۲۷ تاریخ پذیرش: ۱۳۸۷/۰۲/۲۱

چکیده

در این نوشتار، سازند کربناتی فهیان با سن کرتاسه پیشین (بریازین-هوتروین) به منظور شناسایی ریزرخساره‌ها، دیاژنر و بررسی کانی شناسی اولیه رسویات در برش نمونه واقع در تاقدیس فهیان و برش زیرسطحی (تحت الارضی) چاه ۵۵ میدان نفتی گچساران مورد بررسی قرار گرفت. بررسی‌های سنگ‌نگاری منجر به شناسایی ده ریزرخساره شد که در ۴ کمریند رخساره‌ای پهنه کشنده، لاگون، سد و دریای باز نهشته شده‌اند. با توجه به ریزرخساره‌های شناسایی شده، این توالی کربناتی بر روی یک سکوی کربناتی از نوع حاشیه دار (شلف) نهشته شده است. شناسایی سیمان‌های مختلف نشان دهنده این است که سازند فهیان به طور عمده تحت تأثیر دیاژنر هوایی قرار گرفته است. پراکندگی عناصر اصلی و فرعی و گستره ایزوتوپی اکسیژن ۱۸ و کربن ۱۳ آهک‌های سازند فهیان نشان دهنده ترکیب کانی شناسی اولیه آراغونیتی و همچنین تأثیر دیاژنر هوایی بر روی این نهشته‌ها در یک سیستم بسته و با نسبت آب به سنگ پایین است.

کلیدواژه‌ها: سازند فهیان، ریزرخساره، محیط رسوی، دیاژنر، ژئوشیمی.

*نویسنده مسئول: محمد علی صالحی

Email: malisalehi@gmail.com

-۱ مقدمه

منظور تشخیص کانی کلسیت از دولومیت به روش (Dickson 1965) رنگ آمیزی شده است. به منظور تفسیر ریزرخساره‌ها و ارائه مدل رسوی از Flügel و Wilson (1975) در نامگذاری سنگ‌های کربناتی از Dunham استفاده شده است.

به منظور بررسی‌های ژئوشیمیایی عنصري سنگ‌های آهکی در برش نمونه، پس از مطالعه دقیق سنگ‌نگاری مقاطع نازک، ۳۸ نمونه از زمینه میکرایتی انتخاب شد. نمونه‌های پودر پس از آماده سازی در آزمایشگاه ژئوشیمی دانشکده علوم زمین دانشگاه شهید بهشتی توسعه دستگاه جذب اتمی (AAS) مورد تجزیه عنصری قرار گرفت. در این روش ۱۲۵ گرم پودر از هر نمونه را در ۵ محلول یک مولار اسید کلریدریک حل کرده و به حجم ۵۰ CC رسانده شد و پس از ۲ ساعت با دستگاه اسپکتروفوتومتر جذب اتمی (AAS) عناصر اصلی (Ca, Mg) بر حسب درصد و عناصر فرعی (Fe, Mn, Na, Sr) بر حسب ppm اندازه گیری شد. دقت اندازه گیری دستگاه برای عناصر فرعی در حد ± 5 ppm است. به منظور بررسی ژئوشیمیایی ایزوتوپی اکسیژن ۱۸ و کربن ۱۳ نمونه از بین نمونه‌های استفاده شده در بررسی‌های اکسیژن ۱۸ میدان نفتی گچساران با مختصات ۱۹°۳۰'۰۰" شمالی و ۵۱°۲۷'۳۶" خاوری است. همچنین در این مطالعه، سازند فهیان در چاه شماره ۵۵ در ۱۹°۱۱'۰۰" شمالی و ۵۱°۴۷'۰۰" خاوری مورد بررسی قرار گرفته است (شکل ۱).

-۲ هدف از بررسی

در این پژوهش سعی بر آن است تا با شناسایی ریزرخساره‌ها بتوان محیط رسوی دیرینه سازند فهیان را بازسازی کرد. با بررسی فرایندهای دیاژنیکی، تاریخچه دیاژنیکی سازند مشخص شد. همچنین برای بررسی ویژگی‌های ژئوشیمیایی حاکم بر نهشته رسویات و همچنین محیط‌های دیاژنیکی حاکم بر نهشته‌ها از روش‌های نوین مانند استفاده از تغییر عناصر اصلی و فرعی (major and minor elements) و ایزوتوپ‌های پایدار (stable isotope) اکسیژن ۱۸ و کربن ۱۳ از نهشته‌های کربناتی در برش نمونه استفاده شده است.

-۳ روش بررسی

به منظور رسیدن به اهداف یاد شده، بررسی‌های صحرایی، سنگ‌نگاری و ژئوشیمیایی انجام شده است. در بررسی صحرایی ۱۶۰ نمونه از سازند فهیان در برش نمونه برای تهیه مقاطع نازک برداشت شد. نمونه برداری به صورت سیستماتیک و با فواصل منظم ۲ متری و گاه با توجه به تغییر رخساره‌ها انجام گرفت. در بررسی سنگ‌نگاری ۱۶۰ مقطع نازک از نمونه‌های برداشت شده در برش نمونه به همراه ۴۰۰ مقطع نازک از خرددهای حفاری (cutting) در چاه ۵۵ گچساران تهیه شد که توسط میکروسکوپ پالریزان، به منظور شناسایی ریزرخساره‌ها و همچنین فرایندهای دیاژنیکی مورد بررسی قرار گرفته است. همه نمونه‌ها توسط محلول آلیزارین سرخ (Red-S) به

-۴ چینه‌شناسی

در این پژوهش سازند فهیان در دامنه جنوبی تاقدیس فهیان (برش نمونه) مورد مطالعه قرار گرفت. با توجه به بررسی‌های صحرایی انجام شده سترای سازند فهیان ۲۸۳ متر اندازه گیری شد. مرز پایینی سازند فهیان با سازند سورمه با توجه به وجود

- اُویید، اگرگات گرینستون (MF 4)

(Ooid aggregate grainstone)

آلوم کم چیره در این ریزرساره اُوییدهای اگرگاته است. در این رساره انواع مختلف آلوم از جمله جلک سبز، روزنبر کفزی و اُویید توسط سیمان اسپارایتی و یا توسط میکریت به هم متصل شده‌اند. فراوانی این نوع آلوکم به ۲۰ درصد می‌رسد و اندازه‌ی در حدود ۲ میلی متر دارند. اُوییدهای با ساختار شعاعی و با هسته‌های متفاوت از اجزای اسکلتی و غیر اسکلتی دارای فراوانی در حدود ۵-۱۰ درصد هستند. حضور اگرگات به عنوان آلوکم چیره نشان دهنده محیط پر انرژی سدی در حاشیه رو به لاگون است (Flügel, 2004) (تابلوی ۱ تصویر d).

- بایوکلست، پلوبید گرینستون (MF 5)

(Bioclast peloid grainstone)

اجزای چیره در این ریزرساره پلوبید با فراوانی در حدود ۳۰ درصد است که به طور عمده دارای جورشدگی و گردشگی خوبی هستند و اندازه در حدود ۰/۴ میلی متر دارند. از دیگر اجزاء در این ریزرساره، خرده‌های اکینویید با فراوانی در حدود ۵-۸ درصد است که همگی در یک زمینه اسپارایتی شناور هستند (تابلوی ۱ تصویر e). با توجه به این که پلوبید با فابریک دانه پشتیبان در رساره پلوبید گرینستون، در محیط کم انرژی نهشته می‌شوند، بیانگر جایه‌جایی آنها از یک محیط کم انرژی به سمت محیط‌های پرانرژی از راه کانال‌های قطعه کننده سد است (Tucker & Wright, 1990).

- ۳-۵. ریزرساره‌های لاگون (Lagoon)

- بایوکلست، پلوبید پکستون (MF 6)

(Bioclast peloid packstone)

آلوم چیره در این ریزرساره پلوبید با فراوانی ۴۰-۵۰ درصد است که دارای جورشدگی خوب تا بسیار خوب هستند. پلوبیدها به طور عمده زاویه‌دار تا گرد شده هستند. آلوکم‌های اسکلتی همراه با این ریزرساره خرده‌های اکینویید، جلک ساسی کلاداسه و روزنبر کفزی است. فراوانی این اجزای اسکلتی در حدود ۱۰ درصد است (تابلوی ۱ تصویر f). این رساره خارجی ترین رساره لاگون را تشکیل می‌دهد به طوری که با افزایش انرژی و شسته شدن گل کربناتی از بین پلوبیدها رساره گرینستونی مربوط به کمرنند رساره‌ای سدی تشکیل می‌شود.

- بتیک فرام، داسی کلاه و گستون (MF 7)

(Benthic foram, dasyclad wackestone)

در این ریزرساره آلوکم چیره جلک سبز از انواع داسی کلاداسه است که فراوانی آنها در حدود ۱۰ درصد است. لیتوکودیوم اگرگاتیم، روزنبران کفزی از دیگر اجزای اسکلتی هستند که فراوانی در حدود ۸-۱۰ درصد دارند (تابلوی ۱ تصویر g). حضور اجزای اسکلتی مانند جلک سبز و روزنبر کفزی در یک زمینه میکریتی نشان دهنده انرژی کم محیط در بخش‌های لاگونی است (Bachmann & Hirsch, 2006).

- مادستون خرده فسیل دار (MF 8)

(Fossiliferous mudstone)

اجزای اسکلتی در این ریزرساره بسیار اندک (کمتر از ۵ درصد) و شامل روزنبران کفزی، خرده‌های جلک سبز، اکینویید و دوکفه‌ای است. این رساره در تناوب با رساره‌های لاگونی در سازند فهیان است (تابلوی ۱ تصویر h). تنوع و فراوانی روزنبران کفزی در بخش‌های دریایی محدود شده و بسیار کم ژرف‌کاهش می‌یابد (Amadio, 2006).

- ۴-۵. ریزرساره‌های پهنه کشندی (Tidal flat)

- اینتراکلست گرینستون (MF 9)

(Intraclastic grainstone)

برش‌های انحلالی به صورت ناپیوستگی هم شبی است. برش‌های انحلالی به صورت قطعات آهکی گوشه‌دار شناور در یک زمینه سرخ رنگ سرشار از اکسید آهن هستند که به صورت غیر ممتد در مرز بین دو سازند قرار گرفته‌اند (شکل ۲). مرز بالایی سازند فهیان با سازند گدوان هم شبی است (شکل ۳). سن سازند فهیان نشوک‌مین است (James & Wynd, 1965) که به تازگی بر اساس بررسی‌های زیست‌چینه‌نگاری سن این سازند پژوهیان تا هوتروپین تعیین شده است (هاشمی‌حسینی, ۱۳۸۵). در شکل ۴، ستون چینه‌شناسی سازند فهیان در برش نمونه رسم و توصیف شده است. سازند فهیان در برش زیرسطحی با سترای ۵۸۲ متر از سنگ آهک تشکیل شده است که به صورت هم شبی در بالا و پایین در بین دو سازند گدوان و هیث قرار گرفته است. مرز زیرین سازند فهیان با سازند هیث به صورت ناپیوسته است.

۵- ریزرساره‌ها

بررسی‌های سنگ‌نگاری منجر به شناسایی ۱۰ ریزرساره وابسته به ۴ کمرنند رساره‌ای کشندی، لاگونی، سدی و دریایی باز شد. توصیف ریزرساره از بخش ژرف به کم‌ژرف صورت می‌گیرد.

- ۱- ریزرساره‌های دریایی باز (Open marine)

- ۵- گستون اسپیکول اسفنج و رادیولدار (MF 1)

(Radiolarian sponge spicule wackestone)

در این ریزرساره اسپیکول اسفنج در حدود ۱۰-۱۵ درصد، رادیولر به طور میانگین ۵ درصد و پلوبید با فراوانی بسیار کم در زمینه گلی تا رسی حضور دارد (تابلوی ۱ تصویر a). قالب‌های اسپیکول اسفنج و رادیولرها به طور عمده توسط اسپار پر شده‌اند. وجود سیمان اسپارایتی در قالب‌های حفظ شده اسپیکول اسفنج بیانگر سیلیسی بودن ساختار اولیه آنها است (Flügel, 2004). تجمع رادیولرها نشان دهنده سرد و ژرف بودن آب دریا است (Casey, 1993).

- ۶- گستون بیوکلست و اسپیکول اسفنج دار (MF 2)

(Sponge spicule bioclast wackestone)

این ریزرساره شامل حدود ۱۵-۲۰ درصد از انواع قطعه‌های خرد شده اسکلتی شامل اکینویید، برکیوپود، دوکفه‌ای‌های نازک لایه مختص دریایی باز، خرده‌های تروکولینا و جلک سبز است. از آن جا که نبود موجودات چارچوب ساز در سکوی کربناتی منجر به جایه‌جایی زیاد نهشته می‌شود و همچنین با توجه به حمل آسان خرده‌های جلک آهکی (Flügel, 2004)، این ذرات می‌توانند از محیط‌های لاگونی حمل و به محیط‌های دریایی باز انتقال و گسترش یابند (Schlagintweit & Gawlick, 2007) در این ریزرساره اسپیکول اسفنج با فراوانی ناچیز حضور دارند (تابلوی ۱ تصویر b).

- ۷- ریزرساره‌های سد (Shoal)

- ۷- اینتراکلست، اُویید گرینستون (MF 3)

(Intraclast ooid grainstone)

در این رساره اُویید با ساختار مماسی از اجزای چیره و با فراوانی در حدود ۳۰ درصد است. اُوییدها بیشتر میکریتی شده هستند و اندازه‌ای در حدود ۰/۵-۰/۸ میلی متر دارند. اینتراکلست و آنکویید هر کدام با فراوانی ۵ درصد حضور دارند. اینتراکلست‌ها در اندازه در حدود ۲/۵ میلی متر دارای بههای کم و بیش گرد شده هستند. ذرات کربناتی در این ریزرساره در سیمان اسپارایتی شناور هستند (تابلوی ۱ تصویر c). با توجه به ویژگی‌های شناسایی شده برای این ریزرساره و معادل‌های آنها در Flügel (2004) حاکی از نهشته شدن این رساره در محیط‌های سدی است.

۱-۷. میکریتی شدن (micritization) میکریتی شدن فرایندی است که طی آن، ذرات کربناتی توسط بلورهای مخفی بلور (cryptocrystalline) کربناتی یا میکرایت جایگزین می‌شود (Samankassou et al., 2005). در رخساره‌های سازند فهیلان بویژه در رخساره‌های بخش‌های کم ژرف شامل رخساره‌های لاغونی و سدی، بیشتر اجزای اسکلتی و غیر اسکلتی به شدت میکریتی شده‌اند. رسوبگذاری میکرایت در اطراف ذرات سبب ایجاد حاشیه نامنظم به سمت خارج در سطح ذرات می‌شود (تابلوی ۲ تصویر a). فرایند میکریتی شدن در محیط‌های کم انرژی ایجاد می‌شود (Bathurst, 1975; Tucker & Wright, 1990).

۲-۸. سیمانی شدن (cementation) از آن جا که سیمانی شدن در بیشتر محیط‌های دیاژنتیکی اتفاق می‌افتد، لذا استفاده از آن در بازسازی پیشنه دیاژنتزی بسیار با اهمیت است. سیمان‌های شناسایی شده در سازند فهیلان شامل انواع زیر است:

- **سیمان سوزنی یا فیری هم سبتو (fibrous cement isopachous)**: این سیمان به صورت بلورهای با نسبت طول به عرض شش برابر، رشد موازی نسبت به محور عمود بر سطح یا دیواره ذرات تشکیل می‌شوند این نوع سیمان دارای ترکیب کانی شناسی آرگونیتی یا HMC هستند و به طور عمده در محیط دیاژنتزی فریاتیک دریایی تشکیل می‌شوند (Tucker & Wright, 1990; Flügel, 2004). سیمان سوزنی یا فیری جزو سیمان‌های اولیه دریایی (سیمان نسل اول) به شمار می‌روند (تابلوی ۲ تصویر b).

- **سیمان تیغه‌ای (bladed cement)**: این سیمان به شکل بلورهای غیر هم بعد و دارای نسبت طول به عرض یک و نیم برابر و انتهای هرمی شکل هستند. این سیمان گاه با فابریک هم سبتو در اطراف ذرات تشکیل می‌شود و به طور معمول دارای کانی شناسی HMC است، اما انواع آرگونیتی آن نیز وجود دارد. این سیمان در محیط دیاژنتیکی فریاتیک دریایی بویژه در بخش‌های کم ژرفای دریا و همچنین در محیط وادوز دریایی تشکیل می‌شود (Flügel, 2004). سیمان تیغه‌ای همچنین می‌تواند در محیط‌های دیاژنتیکی تدفینی نیز تشکیل شود. این سیمان در توالی مورد بررسی، بیشتر به عنوان پرکننده فضای درونی ذرات بویژه در قالب قطعات اسکلتی انحلال یافته دیده می‌شوند. این سیمان همچنین به صورت سیمان هم سبتو در اطراف ذرات به عنوان سیمان نسل اول دیده می‌شود (تابلوی ۲ تصویر c).

- **سیمان هم بعد (equant cement)**: این سیمان در حفرات بین دانه‌ها معمول هستند. این نوع سیمان فاقد هرگونه جهت‌یابی ترجیحی به شکل موزاییک‌هایی از بلورهای درشت کاستیست. سیمان هم بعد یا دانه‌ای (گرانولار) در محیط‌های دریایی، هوایی و یا تدفینی تشکیل می‌شود (Longman, 1980; Tucker, 2001). در توالی مورد مطالعه دیده شده از فراوانی بالایی برخوردار است به طوری که بیشتر فضاهای خالی بین ذرات نویس این سیمان به صورت سیمان نسل دوم پر شده‌اند (تابلوی ۲ تصویر d).

- **سیمان بلوکی (blocky cement)**: این سیمان به صورت بلورهای با اندازه متوسط تا درشت هستند که هیچ گونه جهت‌یابی ترجیحی ندارند و بلورها بیشتر دارای مرزهای آشکاری هستند. کانی شناسی این سیمان LMC و HMC است. این نوع سیمان شاخص محیط‌های دیاژنتزی هوایی وادوز (vadose) و فریاتیک (phreatic) و نیز محیط دیاژنتزی دفنی (burial) است (Tucker, 2001). سیمان بلوکی با توجه به بویژگی‌های بیان شده در توالی مورد بررسی، به عنوان پرکننده فضای بین دانه‌ها و همچنین حجرات اجزای اسکلتی است (تابلوی ۲ تصویر e).

- **سیمان هم محور (syntaxial overgrowth cement)**: این سیمان به طور معمول

اینترالکسلت از اجزای چیره در این رسربخساره است و دارای فراوانی در حدود ۳۰ درصد و اندازه ۵/۰ میلی‌متر تا در حد سانتی‌متر است. زمینه در این رسربخساره به طور عمده شامل سیمان اسپارایتی و کمتر به صورت گل کربناتی است. این رسربخساره با افزایش یکباره انرژی محیط در شرایط طوفانی به صورت برش‌های رسوبی در پهنه‌های کشنده و محیط‌های کم ژرفای دریایی تشکیل می‌شود (Flügel, 2004) (تابلوی ۱ تصویر a).

۳- مادستون دارای ذرات آواری در حد سیلت (MF 10)

(Silt size quartz grain mudstone)

این رسربخساره تقريباً فاقد اجزای بیولوکلستی است و ذرات آواری به صورت پراکنده در زمینه میکرایتی وجود دارند (تابلوی ۱ تصویر j). نبود اجزای بیولوکلستی نشان‌دهنده تنشست است این رسربخساره در پهنه‌های کشنده تا فراکشنده است (Amodio, 2006). از دیگر ویژگی این رسربخساره حضور قالب‌های دروغین تبخری به شکل یوهدرال است (تابلوی ۱ تصویر k) که از شواهد تشکیل این رسربخساره در پهنه‌های کشنده تا فراکشنده است (Adabi, 1996; Playa & Gimeno, 2006). تغییرات رسربخساره‌ها و کمرندهای رسربخساره‌ای در طول سازند فهیلان در برش نمونه و چاه ۵۵ میدان نفتی گچساران در شکل‌های ۵ و ۶ ارائه شده‌اند.

۴- مدل رسوبی سازند فهیلان در توالی‌های مورد بررسی

در این پژوهش با توجه به تنوع رسربخساره‌ها، دسته بندی و بررسی جانبی و عمودی آنها و با توجه به مدل‌های ارائه شده توسط Wilson (1975) و Flügel (2004) می‌توان محیط رسوبگذاری رسوبات کربناتی سازند فهیلان را در ناحیه مورد مطالعه به صورت یک سکویی از نوع حاشیه دار (shelf) در نظر گرفت (شکل ۷). گسترش رسربخساره‌های اثوییدی و پلوییدی سد ساز فراوان تأیید کننده تنشست این توالی کربناتی بر روی یک سکویی کربناتی از نوع حاشیه دار (shelf) هستند. بر اساس کمرندهای رسربخساره‌ای شناسایی شده و شیوه قرار گیری آنها در توالی‌های مورد بررسی، ژرف‌ترین بخش حوضه در برش‌های زیرسطحی شناسایی شده است. بنابراین این برش نسبت به برش نمونه در بخش‌های ژرف‌تر حوضه رسوبی قرار داشته است. همچنین از آن جا که رسوبگذاری سازند فهیلان در برش‌های مورد بررسی در محدوده زون گسل اینده و کازرون قرار دارد، لذا تغییر در ستیرای نهشته‌های این سازند به احتمال می‌تواند ناشی از فعالیت گسل‌های پی‌سنگی در زمان رسوبگذاری بوده باشد. گسل‌های اینده و کازرون از گسل‌های پی‌سنگی با روند شمالی-جنوبی هستند که از زمان پالئوزویک فعال بوده‌اند و سبب تغییر ستبرای رسوبات در حوضه زاگرس شده‌اند (Sepehr & Cosgrove, 2004).

۵- دیاژنر

بر پایه بررسی‌های میکروسکوپی انجام شده بر روی آهک‌های سازند فهیلان انواع فرایندهای دیاژنتیکی، نوع محیط دیاژنتیکی آنها و توالی پاراژنتیکی فرایندها در توالی‌های مورد مطالعه ارائه شده است. این فرایندها شامل موارد میکرایتی شدن (micritization)، آشونگی زیستی (bioturbation)، فابریک ژئوپتال (fabric)، سیمانی شدن (cementation)، نوریختی (neomorphism)، فشردگی (compaction)، شکستگی (fracturing)، دولومیتی شدن (dolomitization)، سیلیسی شدن (silicification) و انحلال (dissolution) است. از میان این فرایندها، میکرایتی شدن، سیمانی شدن، انحلال و تخلخل نسبت به دیگر فرایندها در سازند فهیلان قابل توجه است.

کانی شناسی اولیه آنها تنها با استفاده از بررسی های سنگنگاری امکان پذیر نباشد. از این رو تنهایا با استفاده از بررسی های ژئوشیمیابی (عناصر فرعی بویژه Sr/Sr, Sr/Mn) و ایزوتوپ های اکسیژن و کربن (‰) می توان ترکیب کانی شناسی اولیه کربنات ها را تعیین نمود. به منظور تعیین کانی شناسی اولیه کربنات های سازند فهیان، عناصر اصلی (Ca, Mg, Fe, Mn, Sr, Na) و ایزوتوپ های اکسیژن و کربن (‰) ایزوتوپ های اکسیژن و کربن ۱۳ اندازه گیری و با رسم آنها در برابر هم و مقایسه آنها با محدوده های که توسط پژوهشگران مختلف برای تعیین کانی شناسی آراگونیتی و کلسیتی ارائه شده، مقایسه می شود. داده های عناصر اصلی، فرعی و داده های ایزوتوپی به صورت مقدار بیشینه، کمینه و میانگین در نمونه های مورد بررسی به ترتیب در جدول های ۲ و ۳ ارائه شده است.

۱-۸. عناصر اصلی و فرعی

- استرانسیم: میزان استرانسیم در آهک های سازند فهیان بین ۳۸۱ ppm و ۱۴۲۹ ppm (به طور میانگین ۶۰۸ ppm) در تغییر است (جدول ۲). میزان استرانسیم در نمونه های کل کربناتی (bulk carbonate) عهد حاضر در مناطق حرارتی بین ۱۰۰۰ ppm تا ۸۰۰ ppm (Milliman, 1974) و در مناطق معتدل بین Rao & Adabi, 1992) ۱۶۴۲ ppm (به طور میانگین ۳۲۷۰ ppm) است (Rao & Amini, 1995). در شکل ۸ مقایسه نمونه های آهکی سازند فهیان با محدوده سنگ آهک های سازند مزدوران (1991), (Adabi & Rao, 1990) (Gordon) (Tasmanian, 1990) (Rao, 1992) (Milliman, 1974) و کربنات های معتدل عهد حاضر Tasmanian (1992) (Rao & Adabi, 1995) صورت گرفته است. با توجه به شکل ۸ به دلیل تشابه ترکیب کانی شناسی، بیشتر نمونه های سازند فهیان در محدوده های بیان شده که دارای ترکیب کانی شناسی آراگونیتی هستند قرار گرفته اند. بالا بودن مقدار استرانسیم در نمونه های مورد بررسی نیز تأکیدی بر ترکیب کانی شناسی آراگونیتی است.

- سدیم: میزان سدیم در نمونه های آهکی سازند فهیان بین ۱۵۴ ppm و ۴۴۰ ppm (میانگین ۲۵۴ ppm) تغییر می کند (جدول ۲). تغییرات سدیم در نهشته های آراگونیتی غیر بیوتیک (abiotic) حرارتی عهد حاضر بین ۱۵۰۰ ppm تا ۲۷۰۰ ppm است (Milliman, 1974; Rao & Adabi, 1992) در شکل ۹ مقدار کم سدیم در نمونه های سازند فهیان در مقایسه با کربنات های آراگونیتی عهد حاضر به دلیل تأثیر فرایندهای دیاژنتیکی غیر دریابی (non-marine) است.

- منگنز: میزان منگنز در نمونه های آهکی سازند فهیان میان ۲۱ ppm و ۱۵۴ ppm (میانگین ۳۹ ppm) تغییر می کند (جدول ۲). مقدار منگنز و آهن در رسوبات کربناتی آراگونیتی عهد حاضر کمتر از ۲۰ ppm (Milliman, 1974) و در کربنات های معتدل (Rao & Adabi, 1992; Rao & Amini, 1995) ۳۰۰ ppm است.

- نسبت استرانسیم به منگنز (Sr/Mn): با انحلال آراگونیت و کلسیت دارای منزیم زیاد (HMC) و تبدیل آنها به کلسیت کم منزیم (LMC) پایدار، مقدار استرانسیم کاهش و میزان منگنز افزایش می یابد (آدبی، ۱۳۸۳). در شکل ۱۰ تغییرات منزیم به منگنز (Sr/Mn) در برابر منگنز رسم شده است. در این نمودار نسبت استرانسیم به منگنز (Sr/Mn) در برابر منگنز رسم شده است. در این نمودار محدوده های نمونه های کل کربناتی (bulk carbonate) عهد حاضر تاسمانیا (Rao & Adabi, 1992; Rao & Amini, 1995) و آهک های آراگونیتی (Adabi & Rao, 1991) ایلام (Adabi & Asadi-Mehmandost, 2008) رسم شده است. مقدار بالاتر استرانسیم نسبت به منگنز در نمونه های آهکی سازند فهیان حاکی از بسته بودن سیستم دیاژنتیکی در این نمونه ها و انحلال کمتر است.

- نسبت استرانسیم به سدیم (Sr/Na): مقدار استرانسیم به سدیم در نمونه های آهکی سازند فهیان بین ۰/۹ تا ۴ (میانگین ۲/۵) تغییر می کند. با توجه به نسبت

دارای ترکیب کانی شناسی HMC و دارای پیوستگی نوری با دانه دربر گیرنده است (Flügel, 2004). این سیمان با توجه به فراوانی قطعات اسکلتی با ساختار تک بلوری از جمله اکینویتها، دارای گستردگی قابل توجهی در توالی مورد مطالعه است. سیمان هم محور به طور عمده شفاف بوده و می تواند در محیط دیاژن هوازی و دافنی نهشته شود (تابلوی ۲ تصویر f).

- سیمان دروزی (drusy cement): این سیمان به صورت حفره پر کن در فضای بین ذرهای و درون حجرات ذرات اسکلتی، در تخلخل های قالبی حاصل از انحلال و نیز در طول شکستگی ها تشکیل می شود. از ویژگی های آشکار این سیمان افزایش اندازه بلور به سمت مرکز حجره است (Flügel, 2004). این سیمان با توجه به ویژگی بارز آن در رخساره های سازند فهیان به راحتی قابل تشخیص است (تابلوی ۲ تصویر g). این سیمان به طور عمده در محیط دیاژن هوازی تشکیل می شود.

- سیمان انیدریتی (anhydrite cement): در سازند فهیان تنها در برش زیرسطحی سیمان انیدریتی (با فراوانی کم) به صورت سیمان حفره پر کن حضور دارد. این سیمان در مراحل دیاژن تأخیری شکل گرفته است. با توجه به وجود رخساره تبعیری گستردگی بخش انیدریت هیث در زیر سازند فهیان، این انیدریت را می توان منشأ مناسبی برای سیمانی کردن رخساره ها در طی دیاژن تأخیری در سازند فهیان در برش زیرسطحی در نظر گرفت (تابلوی ۲ تصویر h).

۳-۷. انحلال (dissolution)

فرایند انحلال در شرایطی که سیال های منفذی در تماس با رسوبات، نسبت به کربنات کلسیم تحت اشباع باشند رخ می دهد. انحلال می تواند در محیط های دیاژنی نزدیک سطح و محیط های هوازی و زون مخلوط (Longman, 1980) و محیط دیاژنی تدفینی صورت گیرد (Moore, 1989).

۴-۷. تخلخل (porosity)

مطالعه تخلخل در سنگ های کربناتی به طور قطع وابسته به شناختن و درک فرایندهای دیاژنی است و از طرفی این بررسی ها در ارزیابی مخازن بسیار مهم است (Flügel, 2004)، به طوری که فرایندهای دیاژنی در ایجاد مخازن کربناتی تأثیر زیادی دارند (Tucker & Wright, 1990; Vandeginste et al., 2006).

در این پژوهش به منظور تقسیم بندی تخلخل های شناسایی شده در سازند فهیان از رد بندی Choquette & Pray (1970) به شرح زیر اتفاق افتاده است: تخلخل بین ذرهای (interparticle porosity) (تابلوی ۳ تصویر a)، تخلخل درون دانه ای (moldic porosity) (intraparticle porosity) (تابلوی ۳ تصویر a)، تخلخل قالبی (vug porosity) (تابلوی ۳ تصویر b)، تخلخل حفره ای (channel porosity) (تابلوی ۳ تصویر d)، تخلخل بین بلوری (intercrystalline porosity) (تابلوی ۳ تصویر c)، تخلخل با توجه به محدود بودن فرایند دولومیتی شدن در رسوبات سازند فهیان، بسیار کم است. بر پایه بررسی های سنگنگاری و با توجه به تعیین تقدم و تأخیر نسبی محصول های دیاژن نسبت به یکدیگر تاریخچه دیاژنتیکی سازند فهیان در توالی های مورد بررسی مشخص شد (جدول ۱).

۸- بررسی های ژئوشیمی عنصری و ایزوتوپی در سنگ آهک های سازند فهیان

از مهم ترین کاربردهای بررسی های ژئوشیمی بر روی سنگ های کربناتی، تعیین ترکیب کانی شناسی اولیه، تعیین محیط رسویی، تعیین دمای دیرینه، میزان دگرسانی، تفکیک محیط های مختلف دیاژنی و تعیین روندهای دیاژنی است (Rao, 1991) (Adabi & Rao, 1996; Adabi & Asadi-Mehmandost, 2008). تأثیر فرایندهای دیاژنتیکی بر روی سنگ های کربناتی موجب می شود تا شناسایی ترکیب

۳-۸. تعیین روند دیاژنر سازند فهیلان
 با توجه به نمودار ایزوتوپ اکسیژن ۱۸ در مقابل ایزوتوپ کربن ۱۳ می‌توان روند دیاژنر و نوع آن (هوایی، تدفینی و دریابی) را تعیین نمود. با توجه به نمونه‌های آهکی سازند فهیلان روند تغییرات ایزوتوپ اکسیژن و کربن حاکی از تأثیر کم دیاژنر هوایی است، به طوری که بیشتر نمونه‌ها در محدوده سنگ آهک‌های دریابی کرتاسه (Kelt & Weber, 1964) قرار گرفته‌اند. تغییرات ناچیز در ایزوتوپ کربن را در نمونه‌های آهکی سازند فهیلان می‌توان به بسته بودن سیستم دیاژنیک و در نتیجه تأثیر کم تبادل آب به سنگ (water-rock interaction) نسبت داد (شکل ۱۴).

۴-۸. رسم ایزوتوپ اکسیژن در برابر منگنز

در شکل ۱۵ روندهای دیاژنیکی برای ترکیبات کلسیم کم منیزیم (LMC)، کلسیم با منیزیم بالا (HMC)، آراغونیت (A)، برای سازنده‌های عهد حاضر (R) و محدوده‌های برلینگتون (Burlington) می‌سی‌سی‌پی در ایالت آمریکا (CM) و آهک‌های ردیدبی (Brand & Veizer, 1980) (Readbay) سیلورین در کانادا (CS) نشان داده شده‌اند (Readbay, 1980). همه نمونه‌های آهکی سازند فهیلان در محدوده سیستم‌های بسته قرار گرفته‌اند، به طوری که نمونه‌ها دارای منگنز پایین هستند. این شکل همانند شکل‌های ۱۲ و ۱۳ تأیید کننده سیستم دیاژنیکی بسته در سازند فهیلان است.

۵-۸. محاسبه دمای آب دریا در زمان نهشست سازند فهیلان

تعیین دمای دیرینه (Palaeotemperature) در زمان نهشست کربنات‌ها از کاربردهای مهم ایزوتوپ اکسیژن ۱۸ ($\delta^{18}\text{O}$) است (Morse & Mackenzie, 1990). به منظور تعیین دما از نمونه‌های با کمترین میزان دگرسانی و یا سنگین ترین ایزوتوپ اکسیژن ۱۸ استفاده می‌شود و برای محاسبه دمای دیاژنیکی از سبک‌ترین ایزوتوپ اکسیژن ۱۸ استفاده می‌شود (Adabi, 1996). برای محاسبه دمای آبی که کلسیم در آن نهشته شده است از معادله Anderson & Arthur (1983) استفاده می‌شود.

$$T^{\circ\text{C}} = 16 - 4.14 \times (\delta_{\text{e}} - \delta_{\text{w}}) + 0.13 \times (\delta_{\text{e}} - \delta_{\text{w}})^2$$

در این رابطه، T: بر حسب سانتی‌گراد

δ : مقدار ایزوتوپ اکسیژن ۱۸ محاسبه شده در کلسیم بر حسب PDB توسط دستگاه اسپکترومتر جرمی

δ_{w} : مقدار ایزوتوپ اکسیژن آب دریا در زمان تشکیل کلسیم بر حسب SMOW مقدار δ_{e} برای دوره‌های مختلف زمین‌شناسی متفاوت است و برای کرتاسه Veizer et al., 1999; GrÖcke et al., 2003). دمای آب دریا در زمان نهشست سازند فهیلان یا به عبارتی دمای اولیه دیاژنیکی (هنگامی که رسوبات در نزدیک سطح بوده‌اند) با استفاده از سنگین ترین ایزوتوپ اکسیژن ۱۸ (۲/۷۷ % PDB) درجه سانتی گراد محاسبه شده است.

۹- نتیجه‌گیری

- بررسی‌های سنگنگاری و بررسی بافت رسوبی بر روی مقاطع نازک سازند فهیلان منجر به شناسایی ۱۰ ریزرساره مربوط به چهار کمرنند رساره‌های پنهانه‌های کشنده، لاغون، سد و دریای باز شده است. با توجه به رساره‌های تشکیل دهنده سازند فهیلان در مقاطع مورد بررسی می‌توان محیط رسوبی این سازند را یک سکوی کربناتی حاشیه‌دار (shelf) در نظر گرفت.
- فرایندهای دیاژنر تأثیرگذار بر روی سازند فهیلان در ناحیه مورد بررسی شامل آشفتگی زیستی، میکرولیتی شدن، سیمانی شدن، تراکم، نوریختی، انحلال، دولومیتی شدن، شکستگی، و سیلیسی شدن است که در محیط‌های دیاژنر به طور عمده هوایی و تا حدودی دریابی و دفنه سازند فهیلان را تحت تأثیر قرار داده‌اند. فراوان ترین فرایند دیاژنر تأثیرگذار در رسوبات، میکرولیتی شدن است.

استرانسیم به سدیم (Sr/Na) در برابر منگنز می‌توان کربنات‌های حاره‌ای دیرینه و عهد حاضر را از کربنات‌های غیر حاره‌ای دیرینه و عهد حاضر تفکیک کرد (Rao, 1991; Adabi & Rao, 1991; Salehietal., 2007; Adabi & Asadi-Mehmandost, 2008) به طوری که در کربنات‌های آراغونیتی حاره‌ای عهد حاضر مقدار منیزیم پایین و نسبت استرانسیم به سدیم (Sr/Na) بالا (۲/۹) تا ۵ و به طور میانگین (۴) است، در صورتی که در کربنات‌های کلسیتی معتدل عهد حاضر این نسبت پایین (۰/۰۰ تا ۱/۳) و به طور میانگین (۱) است (Adabi & Rao, 1991).

در شکل ۱۱ بیشتر نمونه‌های آهکی سازند فهیلان در محدوده آهک‌های آراغونیتی گوردون (Rao, 1990) و همچنین در محدوده آهک‌های آراغونیتی سازند مزدوران قرار گرفته است. نمونه‌های آهکی سازند فهیلان دارای نسبت استرانسیم به سدیم بیشتر از یک و منیزیم بسیار پایین (به طور میانگین ۳۹ ppm) هستند که ویژگی‌های ترکیب کانی شناسی آراغونیتی برای آنها است. ترکیب کانی شناسی آراغونیتی در توالی‌های مارنی-آهکی برای تمام طول دوره فائزه‌زیبیک مانند رخنمون مورد مطالعه توسط پژوهشگران تأیید شده است (Westphal, 2006).

- نسبت استرانسیم به کلسیم (Sr/Ca): بر اساس نسبت استرانسیم به کلسیم در برابر منگنز می‌توان روند دیاژنر را در سیستم‌های باز و بسته تعیین نمود. Brand & Vizer (1980) محدوده‌هایی را برای روندهای دیاژنیکی آراغونیت (A)، کلسیت پرمنیزیم (HMC) و کلسیت کم منیزیم (LMC) تعیین کردند. به طور عمده کاهش منگنز در کلسیت دیاژنیکی شانگر بسته بودن سیستم است. با توجه به قرار گرفتن نمونه‌های آهکی سازند فهیلان در شکل ۱۲ به نظر می‌رسد آهک‌های این سازند به طور عمده تحت تأثیر دیاژنر غیر دریابی (non-marine) (closed system) قرار گرفته باشند. همچنین از مقایسه این نسبت با منیزیم نیز می‌توان به سیستم دیاژنری باز یا بسته بی برد (Bates & Brand, 1990). تمامی نمونه‌های سازند فهیلان در محدوده سیستم دیاژنری بسته قرار می‌گیرد (شکل ۱۳).

۱۳- بروسی‌های ایزوتوپی اکسیژن ۱۸ و کربن ۱۳

با استفاده از ایزوتوپ‌های پایدار اکسیژن ۱۸ و کربن ۱۳ می‌توان اطلاعات با ارزشی در رابطه با دمای محیط دیرینه (palaeotemprature)، دمای دیاژنیکی، روند دیاژنر در محیط‌های دیاژنیکی، تفکیک کربنات‌ها در نواحی مختلف به دست آورد (Rao, 1996). مقادیر ایزوتوپ اکسیژن ۱۸ در آهک‌های سازند فهیلان بین ۵/۳۹ % PDB تا ۲/۷۷ % PDB (میانگین ۴/۳۷ % PDB) تغییر می‌کند و مقادیر ایزوتوپ کربن بین ۰/۷۸ % PDB تا ۰/۷۸ % PDB (میانگین ۰/۵۴ % PDB) در تغییر است (جدول ۳). در شکل ۱۴ محدوده‌های ایزوتوپی نمونه‌های کربناتی مختلف به منظور مقایسه رسم شده است. این محدوده‌ها شامل محدوده ایزوتوپی نمونه‌های کل کربناتی عهد حاضر مناطق حاره‌ای (Milliman & Muller, 1997)، نواحی معتدل تasmانیا و زلاندنو (Rao & Nelson, 1992)، نواحی قطبی (Adabi, 1996)، کربنات‌های آراغونیتی سازند مزدوران مربوط به بخش کم ژرفای خوش در زمان ژوراسیک پسین (Adabi & Rao, 1991)، کربنات‌های آراغونیتی گوردون تasmانیا در زمان اردوسین پسین (Rao & Wang, 1990)، کربنات‌های آراغونیتی سازند ایلام (کرتاسه پسین) (Adabi & Asadi-Mehmandost, 2008) و محدوده ایزوتوپی دریابی ژوراسیک پسین تا کرتاسه پسین بر اساس پوسته بلمنیت‌ها با ترکیب کلسیت کم منیزیم (LMC) است. نمونه‌های آهکی سازند فهیلان به دلیل ترکیب کانی شناسی اولیه آراغونیتی در نزدیکی محدوده آراغونیتی‌های گوردون تasmانیا و آهک‌های آراغونیتی سازند مزدوران قرار گرفته‌اند. بلمنیت‌ها به علت داشتن پوسته با ترکیب کانی شناسی پایدار کلسیتی نسبت به نمونه‌های آراغونیتی سازند فهیلان کمتر تحت تأثیر دیاژنر قرار گرفته‌اند بنابراین دارای مقادیر ایزوتوپ سنگین تری هستند.

سپاسگزاری

در اینجا لازم است از همکاری شرکت ملی نفت مناطق نفت خیز جنوب بویره دکتر حسن امیری بختیار و مهندس علی غیشاوی به سبب مهبا نمودن عملیات صحرایی، در اختیار گذاشت مقاطع نازک و همچنین مشاوره ارزنده تشكیر نمایم. از داشکده علوم زمین دانشگاه شهید بهشتی، بویژه مسئول آزمایشگاه ژئوشیمی سرکار خانم پوراندخت شجاعی به سبب انجام تجزیه عنصری، و همچنین مسئول آزمایشگاه سنگنگاری جناب آقای خلیل الهیاری به سبب همکاری در تهیه عکس‌های میکروسکوپی سپاسگزاری می‌شود. همچنین از مرکز آزمایشگاهی علوم دانشگاه تاسمانیا در استرالیا به خاطر انجام تجزیه‌های ایزوتوپی قدردانی می‌شود. از Giovanna Della Porta و Hildegard Westphal ارزشمند تشكیر می‌شود.

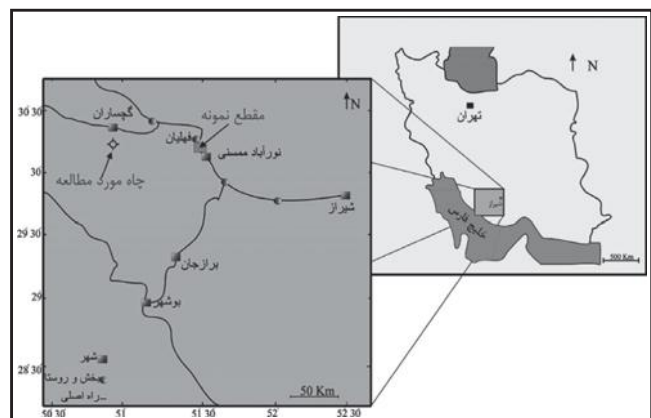
• مطالعه و بررسی عناصر اصلی و فرعی سنگ‌آهک‌های سازند فهیان و نسبت آنها، بیانگر آن است که آهک‌های سازند فهیان در آب و هوای حاره‌ای و در ژرفای کم نهشته شده‌اند و ترکیب کانی‌شناسی اویله آنها آراغونیتی بوده است. بالا بودن نسبت Sr/Na بیشتر از یک، نیز دلیل دیگری بر تأیید کانی‌شناسی اویله آراغونیتی است.

• رسم مقادیر Mn و Mg در برابر Sr/Ca و همچنین رسم Mn در برابر $\delta^{18}\text{O}$ نشان دهنده یک محیط دیاژنری بسته همراه با تبادل پایین آب به سنگ در سازند فهیان است. بررسی مقادیر ایزوتوپ اکسیژن و کربن و رسم این مقادیر در برابر هم و مقایسه با دیگر محدوده‌های مختلف نشان دهنده تأثیر ناچیز دیاژن بر روی سنگ‌آهک‌های سازند فهیان است.

• دمای آب دریا در زمان تهنشست و یا به عبارت صحیح تری دمای دیاژنیکی اویله نزدیک سطح (very shallow burial) کربنات‌های سازند فهیان با استفاده از سنگین ترین ایزوتوپ اکسیژن در نمونه‌های میکریتی، ۲۴ درجه سانتی گراد برآورد شده است.

جدول ۱- تاریخچه فرایندهای دیاژنیکی سازند فهیان در توالی‌های مورد مطالعه.

تأخری	الفرازیش زمان	اویله	فرایندهای دیاژنیکی
↔→			آشفنگی زیستی
↔→			فابریک ژنوتال
↔→			تخلخلهای اویله
↔→			سیمان فیبری هم ستبر
↔→			پوشش میکریتی
↔→			سیمان نیغه‌ای
↔→			تراکم ذرات (تماس‌های بین ذره‌ای)
↔→			سیمان هم بعد
↔→			دولومیتی شدن انتخابی
↔→			نوریختی افزایشی
↔→			شکستگی
↔→			تخلخل‌های قالبی، بین بلوری، حفره‌های بو کاتالی
↔→			استیلولیتی شدن
↔→			سیمان دولومیتی
↔→			درزه‌های انحلالی
↔→			سیلیسی شدن
↔→			سیمان اندریتی



شکل ۱- نقشه موقعیت جغرافیایی مقاطع مورد مطالعه و راه‌های دسترسی به برش نمونه.

جدول ۲- مقادیر بیشینه، کمینه و میانگین عناصر اصلی و فرعی آهک‌های مورد مطالعه در مقطع نمونه.

	Ca %	Mg %	Na ppm	Sr ppm	Fe ppm	Mn ppm
Max.	39.34	0.81	440	1429	211	154
Min.	38.36	0.24	154	381	73	21
Mean	38.93	0.39	256	609	117	38

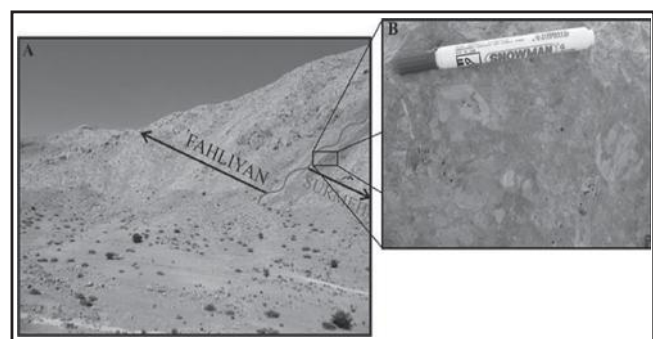
جدول ۳- مقادیر بیشینه، کمینه و میانگین ایزوتوپ اکسیژن و کربن آهک‌های مورد

مطالعه در مقطع نمونه.

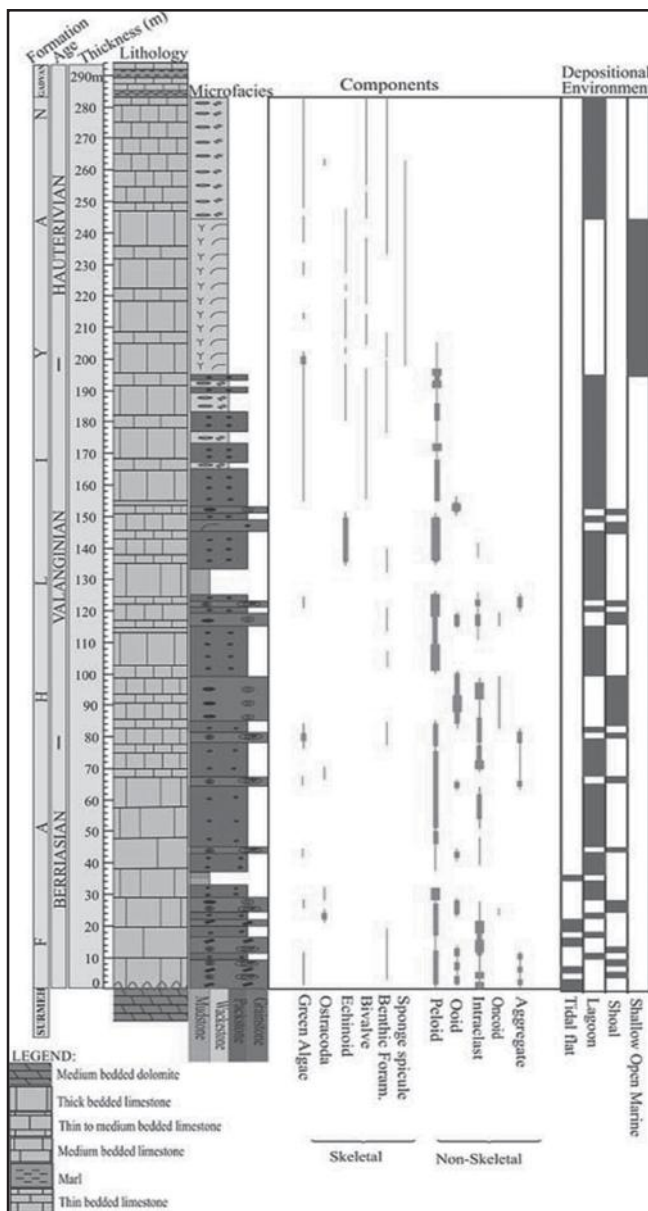
	$\delta^{13}\text{C}\text{\%}$	$\delta^{18}\text{O}\text{\%}$
Max.	1.16	-2.77
Min.	-0.87	-5.93
Mean	0.54	-4.73



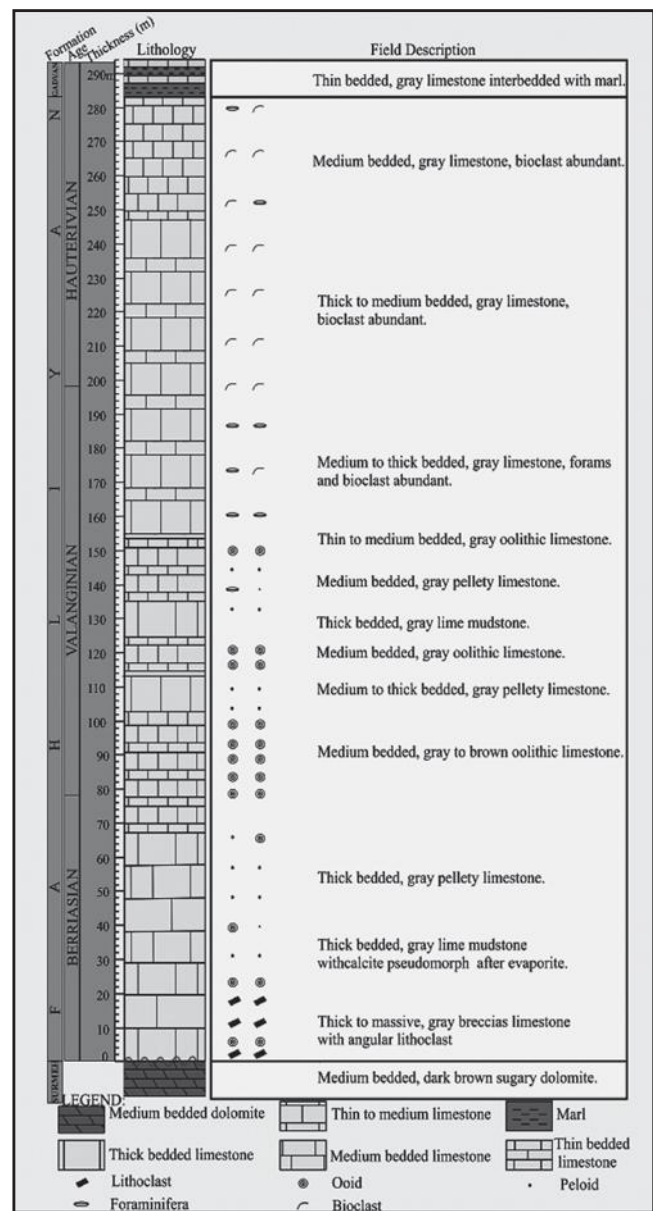
شکل ۳- دورنمایی از مرز بالایی از سازند فهیلان و تبدیل حالت صخره‌ای به توالی‌های نازک لایه و مارن‌های سازند گدوان.



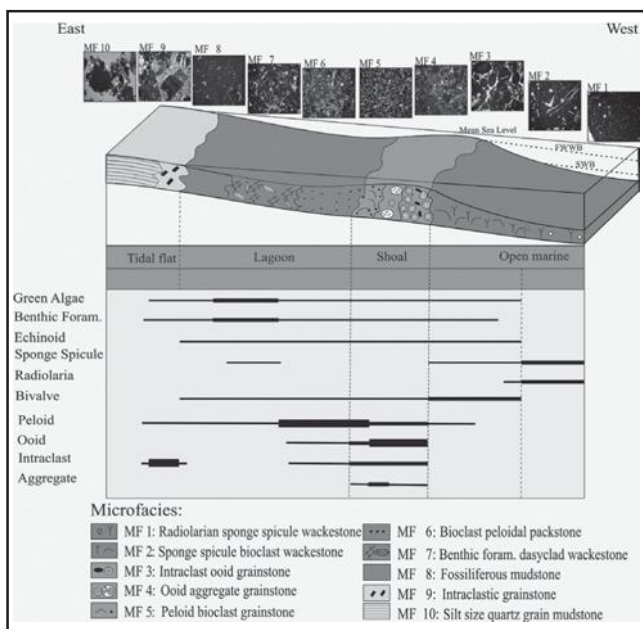
شکل ۲- دورنمای کلی سازند فهیلان در دامنه جنوبی تاقدیس فهیلان و مرز آن با سازند سورمه (A). دید به سمت جنوب باخترا. نمای نزدیک از پرش در مرز تایپوسته سازند فهیلان و سورمه (B).



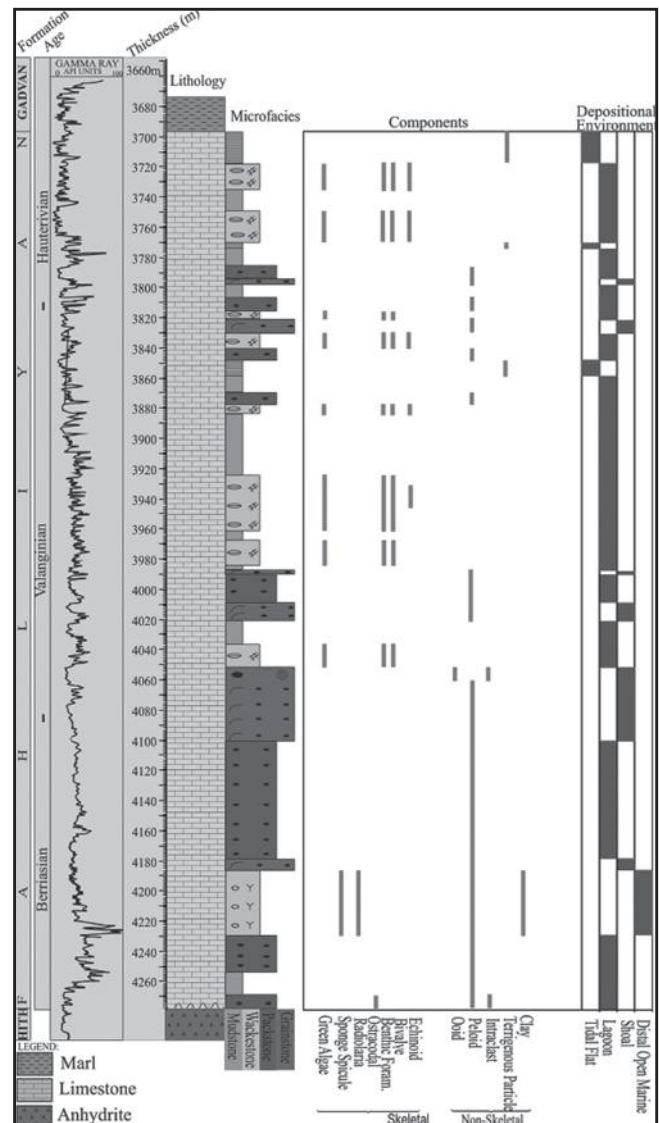
شکل ۵- تغیرات ریزرساره‌ها و کمرندهای رخساره‌ای در طول سازند فهیلان در برش نمونه در تاقدیس فهیلان (برای مشاهده عالم ریزرساره‌ها به شکل ۷ مراجعه شود).



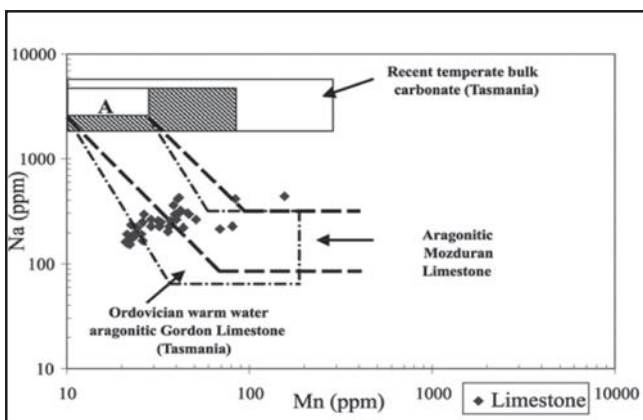
شکل ۶- ستون چینه‌شناسی سازند فهیلان در برش نمونه، دامنه جنوبی تاقدیس فهیلان.



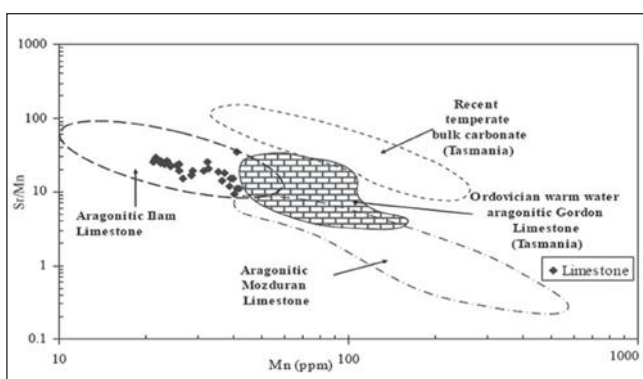
شکل ۷- تصویری نماینده از محیط رسوی، پراکنده‌گی ریزرساره‌ها در سکوی حاشیه‌دار (شلف) کرینات همراه با اجزای تشکیل دهنده کرینات‌های کربنات به کمرندهای رخساره‌ای سازند فهیان (در مقطع نمونه و مقطع زیرزمینی جاه ۵۵ میدان نفتی گچساران).



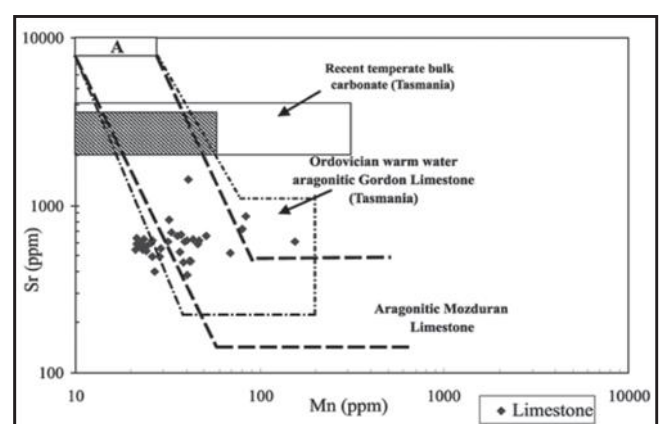
شکل ۶- تغییرات ریزرساره‌ها و کمرندهای رخساره‌ای در طول سازند فهیان در برش زیرسطحی (تحت ارضی) در چاه شماره ۵۵ میدان نفتی گچساران (برای مشاهده علامت ریزرساره‌ها به شکل ۷ مراجعه شود).



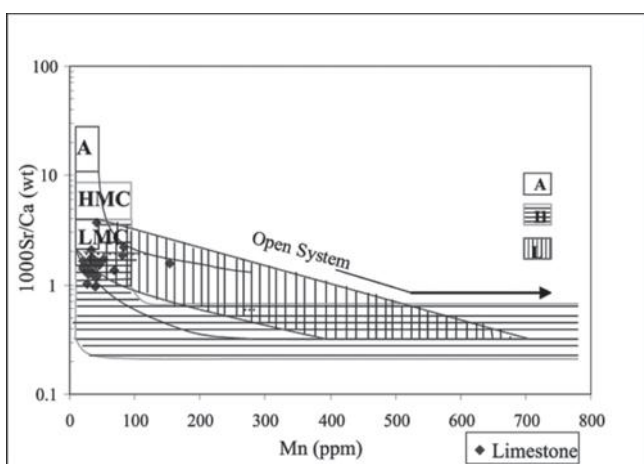
شکل ۹- تغییرات سدیم در برابر منگنز در نمونه‌های آهکی سازند فهیان.



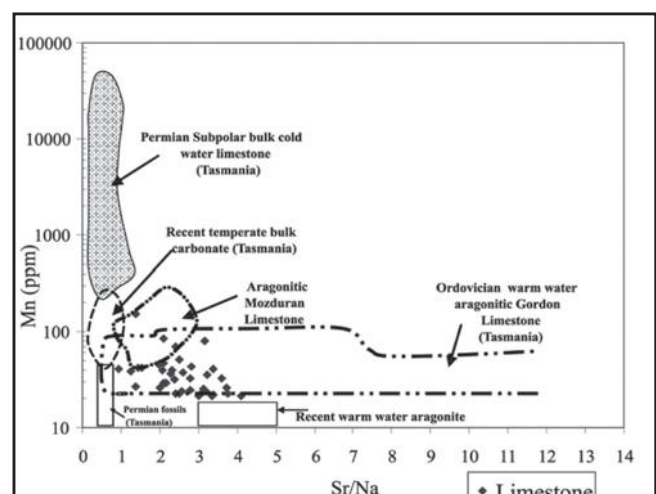
شکل ۱۰- ترسیم نسبت استرانسیم به منگنز (Sr/Mn) در برابر منگنز در نمونه‌های آهکی سازند فهیان.



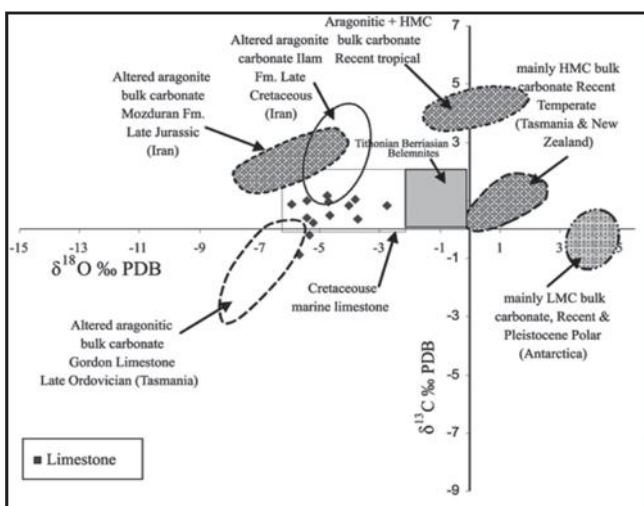
شکل ۸- مقادیر استرانسیم در برابر منگنز در نمونه‌های آهکی سازند فهیان. در این شکل محدوده سازند فهیان با محدوده ارائه شده (به متن مراجعه شود) مقایسه شده است.



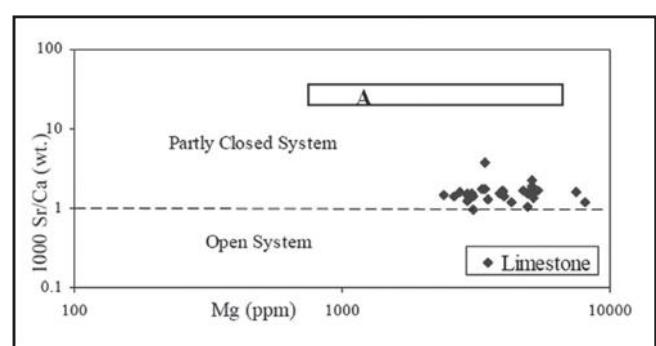
شکل ۱۲- تغییرات نسبت استرانسیم به کلسیم در برابر منگنز در نمونه‌های آهکی سازند فهیان.



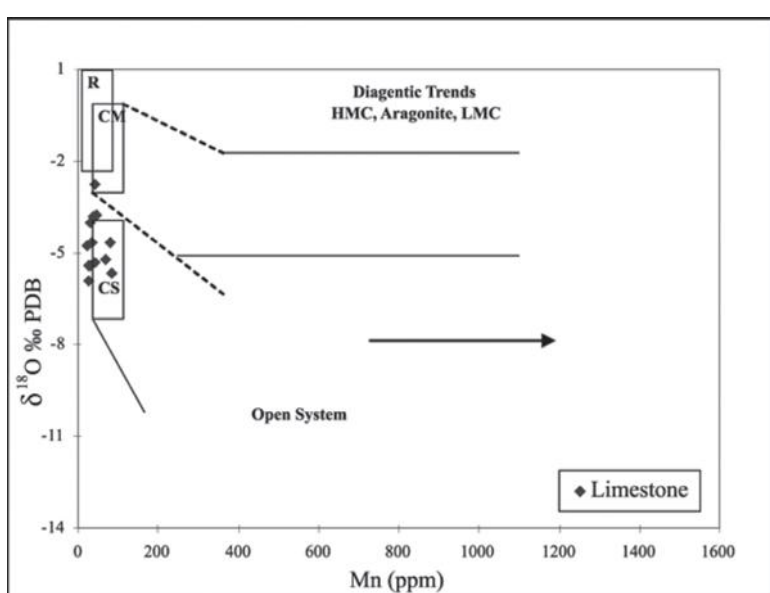
شکل ۱۱- تغییرات نسبت استرانسیم به سدیم (Sr/Na) در برابر منزیم در نمونه‌های آهکی سازند فهیان.



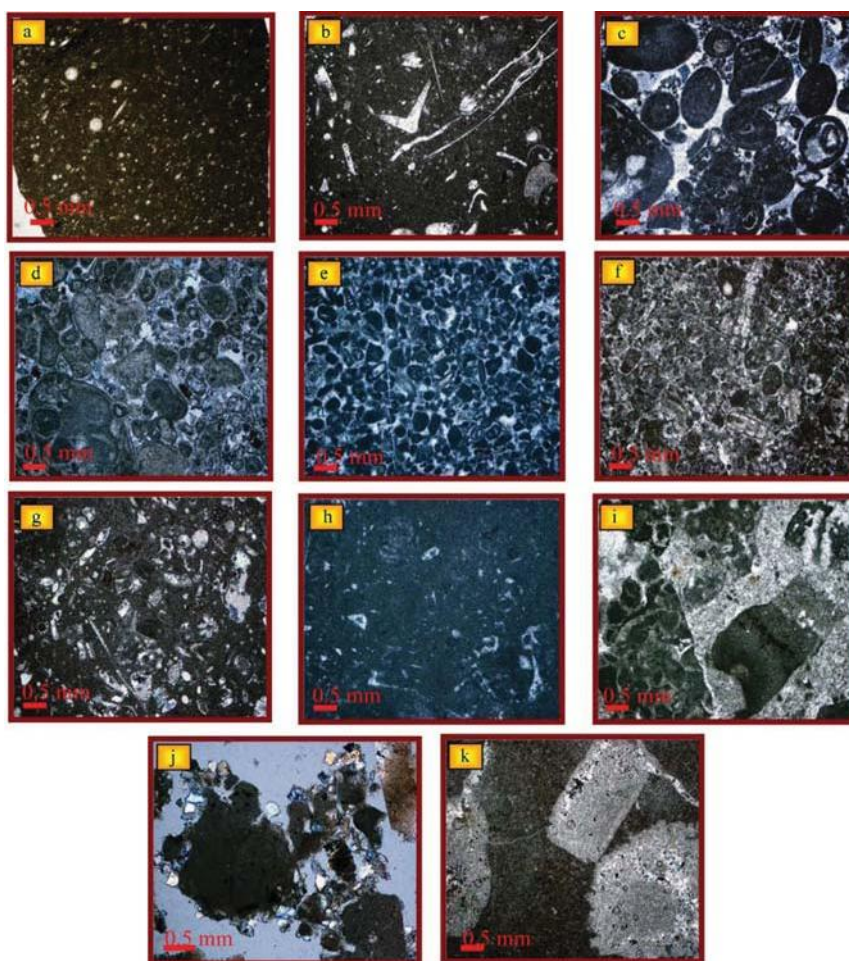
شکل ۱۴- تغییرات ایزوتوپ اکسیژن در برابر کربن در نمونه‌های آهکی سازند فهیان.



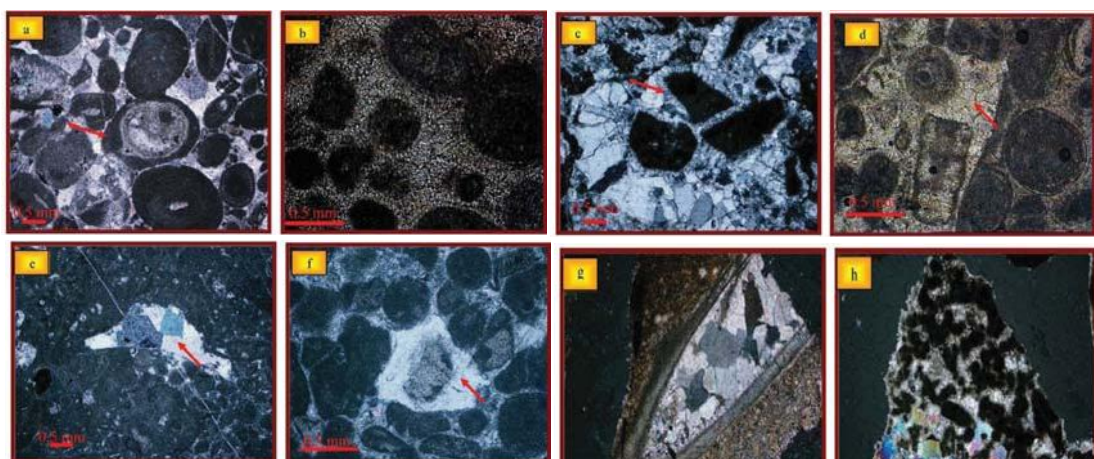
شکل ۱۳- تغییرات نسبت استرانسیم به کلسیم در برابر منزیم در نمونه‌های آهکی سازند فهیان.



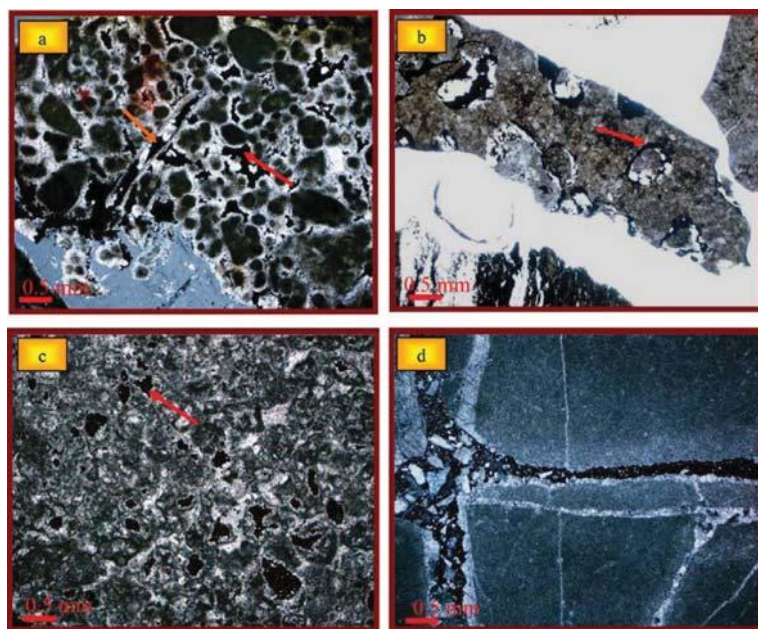
شکل ۱۵- تغییرات منگنز در برابر ایزوتوپ اکسیژن ۱۸ در نمونه‌های آهکی سازند فهیان.



تابلوی ۱-۱ (a) و کستون اسپیکول اسفنج و رادیولار (MF 1)، (b) و کستون بیو کلست و اسپیکول اسفنج دار (MF 2)، (c) ایترا کلست ائویید گرینستون (MF 3)، (d) ائویید، اگرگات گرینستون (MF 4)، (e) بایو کلست، پلوبید گرینستون (MF 5)، (f) بایو کلست، پلوبید پکستون (MF 6)، (g) بتیک فرام، داسی کلاد و کستون (MF 7)، (h) مادستون خردہ فسیل دار (MF 8)، (i) ایترا کلست گرینستون (MF 9)، (j) مادستون دارای ذرات آواری در حد سیلت (MF 10)، (k) مادستون دارای قالب های دروغین تیغه ای به شکل یوهدرال در ریز رخساره (MF 10).



تابلوی ۲-۲ (a) میکریتی شدن (پیکان)، (b) سیمان سوزنی یا فیری هم ستبر، (c) سیمان تیغه ای (پیکان)، (d) سیمان هم بعد (پیکان)، (e) سیمان بلوکی (پیکان)، (f) سیمان هم محور (پیکان)، (g) سیمان دروزی، (h) سیمان انیدریتی (پیکان).



تابلوی ۳- a) تخلخل بین ذره‌ای (پیکان سمت راست تصویر) تخلخل درون دانه‌ای (پیکان سمت چپ تصویر)،
 (b) تخلخل قالبی، c) تخلخل حفره‌ای (پیکان)، d) تخلخل کاتالی.

کتابنگاری

آدابی، م. ح.، ۱۳۸۳- ژئوشیمی رسوبی، انتشارات آرین زمین، ۴۴۸ صفحه
 هاشمی حسینی، پ.، ۱۳۸۵- بیواستراتیگرافی سازند فهلیان در برش الگو و چاه شماره ۱ میدان نفتی داراء، پایان نامه کارشناسی ارشد، دانشگاه تهران، ۱۹۷ صفحه.

References

- Adabi, M. H. & Asadi Mehandost, E., 2008- Microfacies and geochemistry of the Ilam Formation in the Tang-E Rashid area, Izeh, S.W. Iran, Journal of Asian Earth Sciences, 33:267-277.
- Adabi, M. H. & Rao, C. P., 1991- Petrographic and geochemical evidence for original aragonitic mineralogy of Upper Jurassic carbonate (Mozdurhan Formation), Sarakhs area, Iran: Sedimentary Geology, 72:253-267.
- Adabi, M. H. & Rao, C. P., 1996- Petrographic, elemental and isotopic criteria for the recognition of carbonate mineralogy and climates during the Jurassic (e.g., from Iran and England): 13th Geological Convention, Australia, (Abstract), p. 6.
- Adabi, M. H., 1996- Sedimentology and geochemistry of carbonates from Iran and Tasmania, Ph. D. thesis (Unpublished). University of Tasmania. Australia. 470 p.
- Amadio, S., 2006- Foraminifera diversity changes and paleoenvironmental analysis:the Lower Cretaceous shallow-water carbonates of San Lorenzello, Campanian Apennines, southern Italy, Facies, 52:53-67.
- Anderson, T. F. & Arthur, M. A., 1983- Stable isotopes of oxygen and carbon and their application to sedimentologic and paleoenvironmental problems. in: Stable isotope in sedimentary geology, Society of Economic Paleontologists and Mineralogists, Short Course, 10:1-151.
- Bachmann, M. & Hirsch, F., 2006- Lower Cretaceous carbonate platform of the eastern Levant (Galilee and the Golan Heights): stratigraphy and second-order sea-level change, Cretaceous Research, 27:487-512.
- Bates, N. R. & Brand, U., 1990- Secular variation of calcium carbonate mineralogy; an evaluation of ooid and micrite chemistries, Geologische Rundschau, 79:27-46.
- Bathurst, R. G. C., 1975- Carbonate Sediments and their Diagenesis, Developments in Sedimentology, v. 12, Elsevier, Amsterdam. 658 p.
- Brand, U. & Veizer, J., 1980- Chemical diagenesis of multicomponent carbonate system, II: stable isotopes, Journal of Sedimentary Petrology, 51:987-997.
- Casey, R. E. P., 1993- Radiolaria. in: Lipps, J. H., (ed) Fossil Prokaryotes and Protists, Blackwell Scientific, Oxford, p. 249-288.
- Choquette, P. W. & Pray, L., 1970- Geologic nomenclature and classification of porosity in sedimentary carbonates, American Association of Petroleum Geologist Bulletin, 54:207-250.
- Dickson, J. A. D., 1965- A modified staining technique for carbonate in thin section, Nature, 205:587.
- Dunham, R. J., 1962- Classification of carbonate rocks according to depositional texture, American Association of Petroleum Geologist, Memoir, 1:108-121.

- Flügel, E., 2004- Microfacies analysis of limestone: Analysis, interpretation and application, Springer Verlag, Berlin, 976 p.
- GroÖcke, D. R., Price, G. D., Rufell, A. H., Mutterlose, J. & Baraboshkin, E., 2003- Isotopic evidence for Late Jurassic-Early Cretaceous climate change, *Palaeogeography Palaeoclimatology Palaeoecology*, 202:97-118.
- James, G. A. & Wynd, J. G., 1965- Stratigraphic nomenclature of Iranian Oil Consortium Agreement Area, *American Association of Petroleum Geologist, Bulletin*, 49:2182-2245.
- Jenkyns, H. C., Jones, C. E., GroÖcke, R., Hesselbo, S. & Parkinson, D. N., 2002- Chemostratigraphy of the Jurassic System: applications, limitations and implications for palaeoceanography, *Journal of Geological Society of London*, 159:351-378.
- Keith, L. M. & Weber, J. N., 1964- Carbone and oxygen isotopic composition of limestones and fossils, *Geochimica et Cosmochimica Acta*, 28:1787-1816.
- Longman, M. W., 1980- Carbonate diagenetic textures from nearsurface diagenetic environments, *American Association of Petroleum Geologist, Bulletin*, 64:461-487.
- Milliman, J. D. & Müller, J., 1977- Characteristics and genesis of shallow-water and deep-sea limestones. in: Anderen, N.R., & Malahoff, A., (eds.), *The fate of fossil fuel CO₂ in the oceans*. New York (Plenum), p. 655-672.
- Milliman, J. D., 1974- Marine Carbonates Recent Sedimentary Carbonates, Part 1, Springer-Verlag, Berlin, 375 p.
- Moore, C. H., 1989- Carbonate Diagenesis and Porosity, *Development in Sedimentology*, 46:338 p.
- Morse, J. W. & Mackenzie, F. T., 1990- Geochemistry of Sedimentary Carbonates, *Development in Sedimentology*, Amsterdam (Elsevier), 48:707 p.
- Playa, E. & Gimeno, D., 2006- Evaporite deposition and coeval volcanism in the Fortuna Basin (Neogene, Murcia, Spain), *Sedimentary Geology*, 188:205-218.
- Rao, C. P. & Adabi, M. H., 1992- Carbonate minerals, major and minor elements and oxygen and carbon isotopes and their variation with water depth in cool, temperate carbonates, western Tasmania, Australia, *Marine Geology*, 103:249-272.
- Rao, C. P. & Amini, Z. Z., 1995- Faunal relationship to grain-size, mineralogy and geochemistry in recent temperate shelf carbonate, western Tasmania, Australia, *Carbonates and Evaporites*, 10:114-123.
- Rao, C. P. & Nelson, C. S., 1992- Oxygen and carbon isotope fields for temperate shelf carbonates from Tasmania and New Zealand, *Marine Geology*, 103:273-286.
- Rao, C. P. & Wang, B., 1990- Oxygen and carbonate isotope composition of Gordon Group carbonates (Ordovician) Florentine Valley, Tasmania, Australia, *Journal Earth-Science Reviews*, 37:305-316.
- Rao, C. P., 1990- Geochemical characteristics of cool-temperate carbonates, Tasmania, Australia, *Carbonates and Evaporites*, 5:209-221.
- Rao, C. P., 1991- Geochemical differences between subtropical (Ordovician), cool-temperate (recent and Pleistocene) and subpolar carbonates, Tasmania, Australia, *Carbonates and Evaporites*, 6:83-106.
- Rao, C. P., 1996- Modern Carbonates, Tropical, Temperate, Polar. *Introduction to Sedimentology and Geochemistry*, Hobart (Tasmania).206 p.
- Salehi, M. A., Adabi, M. H., Ghobishavi, A. & Ghalavand, H., 2007- Reconstruction of sedimentary environment and petrographic and geochemical evidence of aragonite original mineralogy of Lower Cretaceous carbonate rocks (Fahliyan Formation) in the Zagros sedimentary basin, Iran. 13th Bathurst meeting, Norwich, UK. (Abstract).
- Samankassou, E., Tresch, J. & Strasser, A., 2005- Origin of peloids in Early Cretaceous deposits, Dorset, South England, *Facies*, 51:264-273.
- Schlagintweit, F. & Gawlick, H. J., 2007- Analysis of Late Jurassic to Early Cretaceous algal debris-facies of the Plassen carbonate platform in the Northern Calcareous Alps (Germany, Austria) and in the Kurbnesh area of the Mirdita zone (Albania): a tool to reconstruct tectonics and palaeogeography of eroded platforms, *Facies*, 53:209-227.
- Sepehr, M. & Cosgrove, J. W., 2004- Structural framework of the Zagros Fold-Thrust Belt, Iran, *Marine and Petroleum Geology*, 21:829-843.
- Tucker, M. E. & Wright, V. P., 1990- Carbonate Sedimentology, Oxford (Blackwell), 482 p.
- Tucker, M. E., 2001- Sedimentary Petrology, Oxford (Blackwell), 262 p.
- Vandeginste, V., Swennen, R., Gleeson, S. A., Ellam, R. M., Osadetz, K. & Roure, F., 2006- Development of secondary porosity in the Fairholme carbonate complex (southwest Alberta, Canada), *Journal of Geochemical Exploration*, 89:394-397.
- Veizer, J., Ala, D., Azmy, K., Bruckschen, P., Buhl, D., Bruhn, F., Carden, G. A. F., Diener, A., Ebneth, S., Goddris, Y., Jasper, T., Korte, C., Pawellek, F., Podlaha, O. G. & Strauss, H., 1999- ⁸⁷Sr/⁸⁶Sr, δ¹³C and δ¹⁸O evolution of Phanerozoic seawater, *Chemical Geology*, 161:59-88.
- Westphal, H., 2006- Limestone–marl alternations as environmental archives and the role of early diagenesis: a critical review, *International Journal of Earth Sciences*, 95:947-961.
- Wilson, J. L., 1975- Carbonate Facies in Geologic History, New York (Springer), 471 p.

suggests that the original mineralogy was Aragonite. The boundary between the Pabdeh and Asmari Formations can be recognized by changes in the $\delta^{18}\text{O}$ and $\delta^{13}\text{C}$. In the Pabdeh Formation the $\delta^{18}\text{O}$ and $\delta^{13}\text{C}$ values are mostly negative, but in the Asmari Formation values range from positive to negative. Strontium is much higher in the Pabdeh Formation than in the Asmari Formation. Changes in isotope and elemental geochemistry clearly show the Chattian-Aquitian and Aquitanian-Burdigalian boundaries.

Keywords : Asmari Formation, Geochemistry, Oligocene, Miocene.

For persian version see pages 23 to 32

*Corresponding Author: Z. K. Mossadegh; Email: zkmossadegh@yahoo.com

Sedimentary Environment, Diagenesis and Geochemistry of the Fahliyan Formation in the Type Section (Fahliyan Anticline) and Gachsaran Oil Field

M. A. Salehi^{1*}, M. H. Adabi¹, H. Ghalavand² & M. Khatibi-Mehr¹

¹ Department of Geology, Faculty of Earth Sciences, Shahid Beheshti University, Tehran, Iran

² Department of Geology, National Iranian South Oil Company (NISOC) , Ahwaz, Iran

Received: 2008 May 10 Accepted: 2008 November 17

Abstract

The Fahliyan Formation with the age of Lower Cretaceous (Berriasian-Hauterivian) were studied for microfacies analysis, diagenesis and original carbonate mineralogy in the type section at Fahliyan Anticline and subsurface section in well number 55 of Gachsaran Oil Field. Petrographic studies led to the recognition of 10 microfacies that were deposited in four facies belts: tidal flat, lagoon, shoal and open marine. The observed facies patterns indicated a carbonate rimmed-shelf depositional environment. Recognition of different type of cements shows that the Fahliyan Formation has mostly undergone meteroric diagenesis. Major and minor elements and carbon and oxygen isotope values indicate that aragonite was the original carbonate mineralogy in the Fahliyan Formation, and suggests that alteration occurred in a closed diagenetic system, with low water/rock interaction.

Keywords: Fahliyan Formation, Microfacies, Sedimentary Environment, Diagenesis, Geochemistry.

For Persian Version see pages 33 to 44

*Corresponding author: M. A. Salehi; Email: malisalehi@gmail.com

Biostratigraphy & Paleoenvironment of the Qom Formation in Northeast of Mahneshan

J. Daneshian^{1*}, M. Shahrabi² & M. Akhlaghi¹

¹ Department of Geology, Science Faculty, Tarbiat Moallem University,Tehran, Iran.

² Zarnab Co., Tehran, Iran

Received: 2008 July 22 Accepted: 2009 February 22

Abstract

75 samples of the Qom Formation in Andabad, northeast Mahneshan, were investigated. The Qom Formation in the examined section with a thickness of 301m, mainly consists of limestone and marl, and disconformably overlies the Lower Red Formation and lies under the sediments of the Upper Red Formation. A study of foraminifera was led to identifying 42 genera and 70 species of the benthonic and planktonic foraminifera, which 37 genera and 57 species is reported from this area for the first time. Among them, benthonic foraminifera have more varieties and abundances, and used for biostratigraphy. Based on the identified foraminifera, the Andabad section is comparable to Assemblages Zone 1 and 2 introduced by Adams and Bourgeois. On the basis of occurrence of the index foraminiferal species and their stratigraphic distribution, the age of the Qom Formation in the studied section is Early Miocene (Late Aquitanian to Burdigalian).